# 木質パネルの曲げに関する研究

# 平 嶋 義 彦中

Yoshihiko Hirashima: Study on Bending of Wooden
Stressed-skin Panels

要 旨:パネルの表面材料として、合板のような直交異方性材料が用いられる場合の曲げ問題について、理論的に解析し、これを実際に作製した各種の型のパネルの曲げ試験と比較した。その結果、ことに得られた理論解析の妥当性が認められた。

また、有効幅に与える各種のパラメータの影響を検討し、実際にパネルを作製する際の表面材の有効的な使用方法について、その指針を得た。

有効額の算出は、かなり繁雑であるため、あらかじめパラメータを想定しておいて計算を行ない、 これをグラフ化し、めんどうな手続きなしにこれが得られるようにした。このグラフも、実験および 計算結果と比較して、その有効性が認められた。

#### 1. 緒 言

最近の木質系プレハブ住宅には、いろいろな構法のものが考え出されているが、そのうちの1つにパネル構法と呼ばれるものがある。

これは屋根、壁、床などをパネルという部品で構成しようとするものであり、種々の利点を 備えていて、住宅生産の工業化の進展に大きな役割を果たしている。すなわち、パネルとは骨材と表面材で構成されたものであり、各種の材料を複合して構成することによって、種々要求される性能に応じることができるものである。

将来の住宅の性能を左右する部品として期待されるパネルも、その合理的な設計と性能評価の面においては、多くの問題点を持っている。

そこで本報告では、これらの問題点のうちからパネルに基本的に要求される性能,すなわち曲げ問題を とり出して検討することにした。

パネル (stressed-skin panel) は、その曲げについて考えてみると、中立軸よりできるだけ離れた位置に材料を配置して、梁の構造的に不利な面を形態によりカバーしようとする構造体と考えられるが、この種のパネルは、1930 年代前半にアメリカの F.P.L. で開発され、1940 年代にプレハブ住宅用として実用化された $^{10}$ 。そして 1940 年  $^{10}$  Newlin $^{20}$  により、いわゆるリブの基本間隔 (basic spacing) を基礎とする設計方法が提唱され、そして後世にその方法が引き継がれた $^{310}$ 。しかし、この  $^{10}$  Newlin の方法は、フランジの座屈に論拠をおいたものであり、曲げ問題に対しては合理性に欠けるため、現状は個々の設計に応じた実物を試作し、その実験結果からパネルの性能を判定している段階である。

パネルの曲げ問題そのものを論じた研究は数が少なく、純粋に弾性論的に論じたもの<sup>5)6)</sup>、木質材料を用いて直交異方性論を用いて解析したもの<sup>7)8)9)</sup>が二、三あるにすぎない。

<sup>1973</sup>年1月10日受理

<sup>(1)</sup> 木 材 部

ところで、Amana-Booth の報告<sup>8)9)</sup>は、実験的にも理論的にもすぐれたものであるが、かんじんの有効幅についての検討がないのが惜しまれる。

本報告はこの点をも考慮に入れて、パネルの曲げ問題をとりあげ、実験的、理論的に検討したものである。

なお,数値計算は農林研究計算センター内の農林省共同利用電子計算機 (HITAC-8500) および林業試験場設置の電子計算機 (OKITAC-4500) を利用して行なった。

この研究を行なうに当たり、木材部材料科長山井良三郎氏および強度研究室の諸氏より終始懇切なる指導と援助を得たことをここにしるし、深くお礼を申し述べます。

### 2. 理論式の誘導

#### 2-1. 有 効 幅

梁の曲げに関する初等公式においては、曲げ応力は中立軸からの距離に比例し、梁の幅方向には均等に 分布すると仮定されている。

しかし、このことは、梁の断面寸法が長さに比べて小さく、かつ両端からある程度離れたところを考えた場合に成りたつのであって、パネルのように、幅の広いフランジを有する場合にあっては、この初等公式は、そのままでは十分な正確さをもって適用することができない。

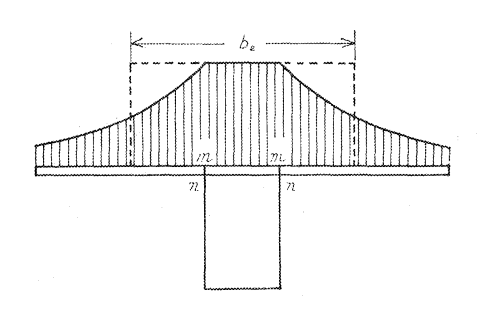


Fig. 1 フランジの応力分布と有効幅 Stress distribution in flange and effective breadth.

いま断面の形が Fig. 1 のようなT型梁が曲げを受ける場合を考えてみると、図の断面 mn には剪断応力が働き、そしてこの応力はフランジに圧縮応力を ひき 起こす。この圧縮応力はフランジの幅に沿っては等分布 せず、Fig. 1 のように側縁にいくほど小さくなる。この現象は一般にシアラッグ (shear lag) と呼ばれる。この 深に対して曲げの初等公式を用いるためには、 Fig. 1 でハッチした部分の面積に等しくなるような長方形の幅  $b_e$ を定めればよい。この幅を一般に有効幅と呼ぶ。したがって、フランジにおける応力分布を知り、有効幅を定

めれば、パネルに対しても梁の曲げに関する公式を適用できることになる。

#### 2-2. 基礎微分方程式の誘導

幅広いフランジを有する梁において,フランジの厚さはリブの厚さに比べて小さく,フランジ自体の曲 げは無視できるものとする。

そうするとフランジは、その1つの境界(Fig. 1 においては断面 mn)に剪断力が作用する薄板とみなすことができる。すなわち、フランジにおける応力分布は、二次元(平面応力)問題と考えられる。

いま、フランジの中央面内にx-y座標を設け、x,y方向の垂直応力をそれぞれ $\sigma_x,\sigma_y$ 、剪断応力を $\tau_{xy}$ とすれば、応力の釣合方程式は次のようになる。

$$\frac{\partial \sigma_x}{\partial x} + \frac{\partial \tau_{xy}}{\partial y} = 0 \tag{1a}$$

$$\frac{\partial \tau_{xy}}{\partial x} + \frac{\partial \sigma_y}{\partial y} = 0 \tag{1b}$$

ここで、 $A_{IRY}$  の応力関数 $\phi$ を導入して

$$\sigma_x = \frac{\partial^2 \varphi}{\partial y^2} \tag{2a}$$

$$\sigma_y = \frac{\partial^2 \varphi}{\partial x^2} \tag{2b}$$

$$\tau_{xy} = -\frac{\partial^2 \varphi}{\partial x \partial y} \tag{2c}$$

とおけば、明らかに応力の釣合方程式(1)は恒等的に満足される。

つぎにx, y方向の垂直歪みをそれぞれ $\epsilon_x$ ,  $\epsilon_y$ , 剪断歪みを $\gamma_{xy}$  すれば, 歪みの適合条件式は次のようになる。

$$\frac{\partial^3 \mathcal{E}_x}{\partial y^2} + \frac{\partial^2 \mathcal{E}_y}{\partial x^2} - \frac{\partial^3 \gamma_{xy}}{\partial x \partial y} = 0 \qquad (3)$$

フックの法則より、応力と歪みの間には次のような関係が成りたつ。

$$\varepsilon_{x} = \frac{\sigma_{x}}{E_{x}} - \frac{\sigma_{y}}{E_{y}} \mu_{yx}$$

$$\varepsilon_{y} = \frac{\sigma_{y}}{E_{y}} - \frac{\sigma_{x}}{E_{x}} \mu_{xy}$$

$$(4a)$$

$$\gamma_{xy} = \frac{1}{G_{xy}} \gamma_{xy}$$

$$(4c)$$

ただし、 $E_x$ 、 $E_y$  はそれぞれx、y方向のヤング係数、 $\mu_{xy}$ 、 $\mu_{yx}$  はポアソン比、 $G_{xy}$  は剪断弾性係数である。

ヤング係数とポアソン比との間に成りたつ Maxwell の関係式

$$\frac{\mu_{yx}}{E_y} = \frac{\mu_{xy}}{E_x}$$

を用い,式(1),(4)を式(3)へ代入して,次の微分方程式を得る。

$$\frac{\partial^4 \varphi}{\partial x^4} + 2\alpha \frac{\partial^4 \varphi}{\partial x^2 \partial y^2} + \beta \frac{\partial^4 \varphi}{\partial y^4} = 0 \qquad (5)$$

ただし,

$$\alpha = \frac{E_y}{2G_{xy}} - \mu_{yx}$$
$$\beta = \frac{E_y}{E_x}$$

いま, ø を変数分離形とし, y の関数列を直交函数系にとって

$$\varphi = \sum_{n=1}^{\infty} X_n(x) \sin \omega y \qquad \qquad \dots$$
 (6)

とする。ただし、 $X_n(x)$  はxのみの関数、 $\omega = n\pi/L$ 、L はパネルのスパンである。

式 (6) を式 (5) へ代入して、次のような  $X_n(x)$  に関する 4 階の常微分方程式を得る。

$$\frac{d^4 X_n(x)}{dx^4} - 2\alpha \omega^2 \frac{d^2 X_n(x)}{dx^2} + \beta \omega^4 = 0$$
 (7)

この補助方程式は

$$\rho^4 - 2\alpha\omega^2\rho^2 + \beta\omega^4 = 0 \qquad \dots \tag{8}$$

となり, これを解いて

$$\rho = \pm \omega \sqrt{\alpha \pm \sqrt{\alpha^2 - \beta}} \tag{9}$$

木材および木質材料では、 $\alpha^2-B$  は常に正と考えられるから、式 (8) は 4 個の実根を持つ。 ここで、

$$\lambda_1 = \sqrt{\alpha + \sqrt{\alpha^2 - \beta}}$$

$$\lambda_2 = \sqrt{\alpha - \sqrt{\alpha^2 - \beta}}$$

とおけば、微分方程式(7)の一般解は次のように表わされる。

$$X_n(x) = A_n \cosh \lambda_1 \omega x + B_n \cosh \lambda_2 \omega x + C_n \sinh \lambda_1 \omega x + D_n \sin \lambda_2 \omega x$$
.....(10)

したがって, 応力関数は次のような形になる。

$$\varphi = \sum_{n=1}^{\infty} (A_n \cosh \lambda_1 \omega x + B_n \cosh \lambda_2 \omega x + C_n \sinh \lambda_1 \omega x + D_n \sinh \lambda_2 \omega x) \sin \omega y$$
(11)

この式の中の4個の係数を決定すれば、所要の問題はすべて解けることになるが、これには極小エネルギーの定理を用いる方法<sup>6)</sup>と、4個の境界条件を付与して決定する方法<sup>7)8)</sup>とが考えられる。後者の方法は、フランジとリブの間にズレが生じるような場合にも、その関係を比較的簡単な境界条件として表現できるという利点をもっているので、ここではこの後者の方法にしたがって式を導いていくことにする。

### 2-3. T型パネルの解

x-y座標を Fig. 2 のように設けると、このパネルに対する境界条件は次のように与えられる。

- 1. x=0  $\mathcal{C}$   $\sigma_x=0$
- 2. x=0  $\tau = 0$
- 3. x=b で  $\frac{\partial u}{\partial y}=0$  (u は x 方向の変位)
- 4. フランジとリブの境界面においてそれぞれの歪みが等しい。

適界条件1.から

$$B_n = -A_n$$

境界条件2.から

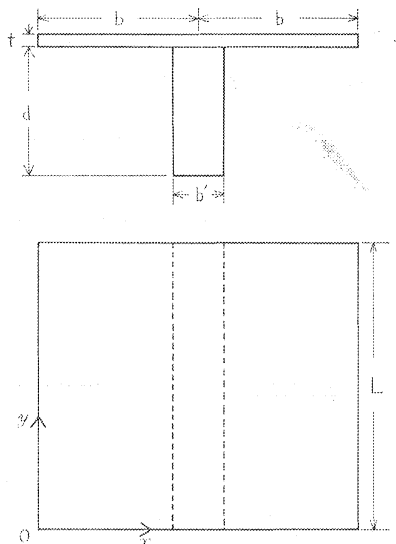


Fig. 2 パネルの座標およびモーメント の分布

Choice of (x, y) axes for panel and distributions of moments and stress resultant.

$$D_n = -\frac{\lambda_1}{\lambda_2} C_n$$

境界条件3.から

$$C_n = \delta_n A_n$$

ただし、

$$\delta_n = -\frac{(\lambda_2^2 + \mu_{yx}) \sinh \rho_1 b - \frac{\lambda^2}{\lambda_1} (\lambda_1^2 + \mu_{yx}) \sinh \rho_2 b}{(\lambda_2^2 + \mu_{yx}) \cosh \rho_1 b - (\lambda_1^2 + \mu_{yx}) \cosh \rho_2 b}$$

$$\rho_1 = \omega \lambda_1, \quad \rho_2 = \omega \lambda_2$$

フランジとリブの境界面に作用する力Nはリブの撓みを減じ、剛性を増す働きをするので、 $Fig.\ 2$  のでとく、これをフランジとリブの厚さの中央に作用する偶力 eN に置き代え、この分だけ外力のモーメントMが小さくなったと考える。そうすると、フランジおよびリブにおけるモーメントをそれぞれ  $M_p,\ M_e$ とすれば、

$$M - eN = M_p + M_z \tag{12}$$

と書き表わされる。

力の釣合から次式が得られる。

$$N = 2t \int_0^b \sigma_y dx \qquad (13)$$

フランジとリブにおいて、 $M_p$ 、 $M_s$ による曲げを考えると、両者は同一曲率を有するから

$$\frac{1}{r} = \frac{M_p}{E_p I_p} = \frac{M_s}{E_s I_s} = \frac{M - eN}{D}$$
 (14)

ただし, r: バネルの曲率半径

 $I_p$ ,  $I_s$ : フランジまたはリブのそれぞれの図心に関する断面二次モーメント  $E_p$ ,  $E_s$ : フランジまたはリブの曲げヤング係数

$$D = E_p I_p + E_s I_s$$

いま、フランジとリブの境界面におけるそれぞれの垂直歪みを $\overline{\epsilon}_p$ 、 $\overline{\epsilon}_s$  とすれば、 これらは N による歪みと  $M_p$  または  $M_s$  による歪みの和であるから、それぞれ次のように表わされる。

$$\bar{\varepsilon}_s = \frac{N}{A_s E_s} - \frac{M_s d}{2E_s I_s} \tag{15a}$$

$$\varepsilon_p = -\left(\varepsilon_y\right)_{x=b} + \frac{M_p t}{2E_p I_p} \tag{15b}$$

ここで A<sub>8</sub> はリブの断面積である。

境界条件 4. から,

式(4b)より,

ただし。

$$\phi_{n1} = \omega^{2} \left[ (\lambda_{1}^{2} + \mu_{yx}) \cosh \rho_{1} b - (\lambda_{2}^{2} + \mu_{yx}) \cosh \rho_{2} b + \delta_{n} \{ (\lambda_{1}^{2} + \mu_{yx}) \sinh \rho_{1} b - \frac{\lambda_{1}}{\lambda_{2}} (\lambda_{2}^{2} + \mu_{yx}) \sinh \rho_{2} b \} \right] \qquad (18)$$

式(13)より,

$$N = 2t \int_{0}^{b} \sigma_{y} dx$$

$$= 2t \left| \frac{\partial \varphi}{\partial x} \right|_{x=0}^{x=b}$$

$$= 2t \phi_{n2} A_{n} \sin \omega y \qquad (19)$$

ただし,

$$\phi_{n2} = \omega \left[ \lambda_1 \sinh \rho_1 b - \lambda_2 \sinh \rho_2 b + \delta_n \lambda_1 (\cosh \rho_1 b - \cosh \rho_2 b) \right] \quad \dots \dots \quad (20)$$

曲げモーメントMをフーリエ級数に展開して,

とする。

式 (17), (19), (21) を式 (16) に代入して  $A_n$  について解くと

$$A_n = \frac{eE_y}{D} \frac{F_n}{\phi_{n1} + 2tE_y \left(\frac{1}{A_s E_s} + \frac{e^2}{D}\right) \phi_{n2}}$$
 (22)

有効幅は 2-1 で定義されたように、応力の合力とリブ上の応力との比であるから、次のように表わされる。

$$b_e = \frac{N}{t \cdot (\sigma_u)_{\sigma = b}} \tag{23}$$

ててで,

$$(\sigma_u)_{x=b} = A_n \phi_{n3} \sin \omega y \qquad (24)$$

ただし,

$$\phi_{n3} = \omega^2 \left[ \lambda_1^2 \cosh \rho_1 b - \lambda_2^2 \cosh \rho_2 b + \delta_n \lambda_1 (\lambda_1 \sinh \rho_1 b - \lambda_2 \sinh \rho_2 b) \right] \quad \cdots \quad (25)$$

となるから, be は次のように書き表わされる。

$$b_e = \frac{2\sum A_n \phi_{n2} \sin \omega y}{\sum A_n \phi_{n3} \sin \omega y}$$
 (26)

パネルのたわみを W とすれば,式(14)から

$$\frac{1}{r} = \frac{d^2W}{dy^2}$$

$$= \frac{M - eN}{D}$$

$$= \frac{1}{D} (F_n - 2te\phi_{n2}A_n) \sin \omega y \qquad (27)$$

この W に関する微分方程式を解いて次式を得る。

$$W = \frac{1}{D} \sum_{n=1}^{\infty} \frac{1}{\omega^2} (F_n - 2te\phi_{n2} A_n) \sin \omega y$$
 (28)

フランジの応力は次のように書き表わされる。

$$\sigma_{y} = \Sigma \omega^{2} A_{n} \left[ \lambda_{1}^{2} \cosh \rho_{1} x - \lambda_{2}^{2} \cosh \rho_{2} x + \delta_{n} \lambda_{1} (\lambda_{1} \sinh \rho_{1} x) \right]$$

$$-\lambda_{2} \sinh \rho_{2} x) \sin \omega y$$

$$\sigma_{x} = -\Sigma \omega^{2} A_{n} \left[ \cosh \rho_{1} x - \cosh \rho_{2} x + \delta_{n} \left( \sinh \rho_{1} x \right) \right]$$

$$-\frac{\lambda_{1}}{\lambda_{2}} \sinh \rho_{2} x) \sin \omega y$$

$$\tau_{xy} = -\Sigma \omega^{2} A_{n} \left[ \lambda_{1} \sinh \rho_{1} x - \lambda_{2} \sinh \rho_{2} x + \delta_{n} \lambda_{1} \left( \cosh \rho_{1} x \right) \right]$$

$$(29a)$$

$$-\cosh \rho_2 x$$
  $\cos \omega y$  .....(29c)

### 2-4. I型パネルの解

この場合も、前述のT型パネルと全く同一の考え方に基づいて解くことができる。すなわち、上下のフランジを添字 1,2 で区別し、それぞれのフランジに応力関数 91、92 を導入して、

$$\varphi_{\frac{1}{2}} = \sum_{n=1}^{\infty} \left[ A_{n_{\frac{1}{2}}} \cosh \lambda_{11} \omega x + B_{n_{\frac{1}{2}}} \cosh \lambda_{21} \omega x + C_{n_{\frac{1}{2}}} \sinh \lambda_{11} \omega x + D_{n_{\frac{1}{2}}} \sinh \lambda_{21} \omega x \right] \sin \omega y \qquad (30)$$

と表現すれば、式中の係数はT型パネルの場合と同様の境界条件により決定される。

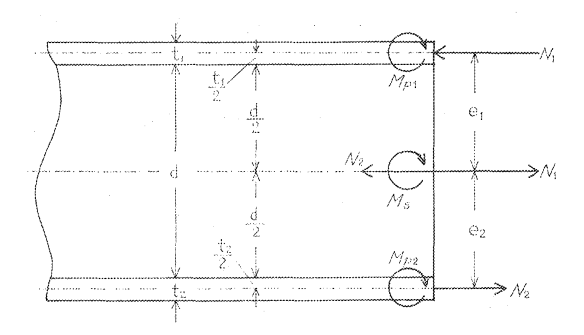


Fig. 3 両面貼パネルのモーメントの 分布

Distributions of moments and stress resultants in double skin type panel.

この場合のモーメントの関係は,

$$M - (e_1 N_1 + e_2 N_2) = M_{p1} + M_{p2} + M_s$$
 (31)

であるから,式(14)は次のように書き表わされる。

$$\frac{1}{r} = \frac{M_{p1}}{E_{p1}I_{p1}} = \frac{M_{p2}}{E_{p2}I_{p2}} = \frac{M_{s}}{E_{s}I_{s}} = \frac{M - (e_{1}N_{1} + e_{2}N_{2})}{D} \quad \cdots \qquad (32)$$

ただし,

$$D = E_{p1}I_{p1} + E_{p2}I_{p2} + E_{s}I_{s}$$

境界条件 4. から  $A_{n1}$ ,  $A_{n2}$  に関する次のような連立方程式が得られる。

$$K_{n1} \cdot A_{n1} + K_{n4} \cdot A_{n2} - \frac{e_1}{D} F_n = 0$$
 (33a)

$$K_{n3} \cdot A_{n1} + K_{n2} \cdot A_{n2} - \frac{e_2}{D} F_n = 0$$
 ....(33b)

ただし,

$$\begin{split} K_{n1} &= -\frac{1}{E_{y1}} \phi_{n11} + 2t_1 \left( \frac{1}{A_s E_s} + \frac{e_1^2}{D} \right) \phi_{n21} \\ K_{n2} &= -\frac{1}{E_{y2}} \phi_{n12} + 2t_2 \left( \frac{1}{A_s E_s} + \frac{e_2^2}{D} \right) \phi_{n22} \\ K_{n3} &= \frac{2t_1 e_1 e_2}{D} \phi_{n21} \\ K_{n4} &= \frac{2t_2 e_1 e_2}{D} \phi_{n22} \end{split}$$

この連立方程式を解けば $A_{n1}$ ,  $A_{n2}$  が得られる。

他の係数はT型パネルと同様に、次の関係が成りたつ。

$$\begin{split} B_{n_{\frac{1}{2}}} &= -A_{n_{\frac{1}{2}}} \\ D_{n_{\frac{1}{2}}} &= -\frac{\lambda_{11}}{\lambda_{21}} C_{n_{\frac{1}{2}}} \\ C_{n_{\frac{1}{2}}} &= \delta_{n_{\frac{1}{2}}} A_{n_{\frac{1}{2}}} \end{split}$$

以上の関係式から応力関数 91,92 が決定できる。

いま、上下のフランジが幾何学的にも力学的にも対称である場合には、添字は省略することができ、

 $A_{n1}=A_{n2}=A_n$  と置けば

$$A_n = -\frac{eE_y}{D} - \frac{F_n}{\phi_{n1} + 2t E_y \left(\frac{1}{A_x E_x} + \frac{2e^2}{D}\right)\phi_{n2}}$$
(34)

となる。

有効輻および撓みはそれぞれ次のように表わされる。

$$b_{e_{\underline{1}}} = \frac{2\Sigma A_{n_{\underline{1}}} \phi_{n_{\underline{1}}} \sin \omega y}{\Sigma A_{n_{\underline{1}}} \phi_{n_{\underline{1}}} \sin \omega y}$$

$$(35)$$

$$W = \frac{1}{D} \sum_{\alpha_2} \left[ F_n - 2(t_1 e_1 \phi_{n21} A_{n1} + t_2 e_2 \phi_{n22} A_{n2}) \right] \sin \omega y \qquad \cdots \qquad (36)$$

#### 2-5. 箱型パネルの解

この場合も前述の1型パネルと同様に応力関数 91,92 を導入し、Fig. 4 のように座標を設ければ、境界条件は次のように与えられる。

- 1. および 2. y軸に関する対称性から $C_n = D_n = 0$
- 3.  $x = \pm b \ \mathcal{C} \quad \sigma_x = 0$
- 4.  $x=\pm b$  でフランジとリブの境界面におい  $\tau$  それぞれの歪みが等しい。

境界条件1,2,3から次の関係が得られる。

$$B_{n_{\frac{1}{2}}}\!=\!-\gamma_{n_{\frac{1}{2}}}\!A_{n_{\frac{1}{2}}}$$

ただし,

$$\gamma_{n_1^1} = \frac{\cosh \rho_{11} b}{\cosh \rho_{21} b}$$

これから次式が得られる。

$$N_{\frac{1}{2}} = 2t_{\frac{1}{2}}\phi_{n2\frac{1}{2}}A_{n\frac{1}{2}}\sin\,\omega y$$

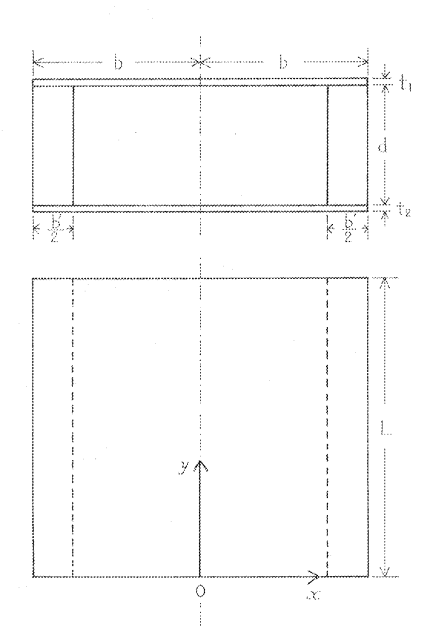


Fig. 4 箱型パネルの座標 Choice of (x, y) axes for box type panel.

ただし,

$$\phi_{n_{11}} = \omega^2 \left[ (\lambda_{11}^2 + \mu_{yx_1}) \cosh \rho_{11} b - \gamma_{n_2} (\lambda_{21}^2 + \mu_{yx_1}) \cosh \rho_{21} b \right] \qquad \cdots \qquad (39)$$

$$\phi_{n2\frac{1}{2}} = \omega \left[ \lambda_{1\frac{1}{2}} \sinh \rho_{1\frac{1}{2}} b - \gamma_{n\frac{1}{2}} \lambda_{2\frac{1}{2}} \sinh \rho_{2\frac{1}{2}} b \right] \qquad (40)$$

境界条件 4. は、 I 型パネルの場合と同じであるから、 $A_{n1}$ 、 $A_{n2}$  に関する連立方程式は、式 (33) と全く同一の形になり、これを解けばよいことになる。

下部フランジが無い場合は,

$$A_{n} = \frac{eE_{y}}{D} \frac{F_{n}}{\phi_{n1} + 2tE_{y} \left(\frac{1}{A_{s}E_{s}} + \frac{e^{2}}{D}\right)\phi_{n2}}$$

となり、これはT型パネルの場合の式(22)と同じ形である。また、上下フランジが対称な場合には

$$A_n = \frac{eE_y}{D} \quad \frac{F_n}{\phi_{n1} + 2tE_y \left(\frac{1}{A_o E_o} + \frac{2e^2}{D}\right) \phi_{n2}}$$

となり、これは I型パネルでフランジが対称な場合の式 (34) と同じ形である。

有効幅は次のように与えられる。

$$b_{e_{1}} = \frac{2\sum A_{n_{1}}\phi_{n_{2}}\sin \omega y}{\sum A_{n_{1}}\phi_{n_{3}}\sin \omega y} \qquad (41)$$

だたし,

$$\phi_{n3\frac{1}{2}} = \omega^2 \left[ \lambda_{1\frac{1}{2}}^2 \cosh \rho_{11} b - \gamma_{n\frac{1}{2}} \lambda_{\frac{2}{2}}^2 \cosh \rho_{21} b \right]$$
(42)

パネルの撓み Wは、I型パネルと同じ形で与えられる。

$$W = \frac{1}{D} \sum_{\omega^2} \left[ F_{n-2} (t_1 e_1 \phi_{n21} A_{n1} + t_2 e_2 \phi_{n22} A_{n2}) \right] \sin \omega y \cdots (43)$$

下部フランジの無い場合のWは、上式において $A_{n2}$ の項を0とおけばよい。フランジの応力は次のように書き表わされる。

$$\sigma_{y_{\frac{1}{2}}} = \sum \omega^{2} A_{n_{\frac{1}{2}}} \left[ \lambda_{1_{\frac{1}{2}}}^{2} \cosh \rho_{1_{\frac{1}{2}}} x - \gamma_{n_{\frac{1}{2}}} \lambda_{\frac{2}{2}}^{2} \cosh \rho_{2_{\frac{1}{2}}} x \right] \sin \omega y \qquad \cdots (44a)$$

$$\sigma_{x_{\frac{1}{2}}} = -\sum \omega^{2} A_{n_{\frac{1}{2}}} \left[ \cosh \rho_{1_{\frac{1}{2}}} x - \gamma_{n_{\frac{1}{2}}} \cosh \rho_{2_{\frac{1}{2}}} x \right] \sin \omega y \qquad \cdots (44b)$$

$$\tau_{xy} = -\sum \omega^{2} A_{n_{\frac{1}{2}}} \left[ \lambda_{1_{\frac{1}{2}}} \sinh \rho_{1_{\frac{1}{2}}} x - \gamma_{n_{\frac{1}{2}}} \lambda_{2_{\frac{1}{2}}} \sinh \rho_{2_{\frac{1}{2}}} x \right] \cos \omega y \qquad \cdots (44c)$$

## 2-6. マルチリブパネルの解

リブが等間隔に 3 本以上配置されたパネルの場合には、これを前述の箱型パネルの集合したものと考える。たとえば、リブが 4 本の場合を考えて、これから箱型パネルを Fig.~4 のごとくとり出してみると、2b はマルチリブパネルの幅の 1/3、b' は 4 本のリブの幅の合計の 1/3 と考えればよい。そしてこのマルチリブパネルに対する境界条件は、1、2 および 4 は箱型パネルのものと同一となり、残る 1 つは次のように与えられる。

3. 
$$x = \pm b \ \overline{c} \ \frac{\partial u}{\partial y} = 0$$

これから次の関係が得られる。

$$B_{n_{\frac{1}{2}}} = -\theta_{n_{\frac{1}{2}}} A_{n_{\frac{1}{2}}}$$

ただし,

$$\theta_{n_1} = \frac{\lambda_{11}(\lambda_{21}^2 + \mu_{yx_1}) \sinh \rho_{11}b}{\lambda_{21}(\lambda_{11}^2 + \mu_{yx_1}) \sinh \rho_{21}b}$$

応力関数の形は、箱型パネルのものと同じになるので、 $A_n$ 、 $b_e$ 、Wもやはり同じ形で表わされる。ただし、

$$\phi_{n_{1_{0}}^{1}} = \omega^{2} \left[ (\lambda_{1_{0}}^{2} + \mu_{yx_{0}^{1}}) \cosh \rho_{1_{0}^{1}} b - \theta_{n_{0}^{1}} (\lambda_{2_{0}^{2}}^{2} + \mu_{yx_{0}^{1}}) \cosh \rho_{2_{0}^{1}} b \right] \qquad \cdots \cdots \qquad (45)$$

$$\phi_{n2\underline{1}} = \omega \left[ \lambda_{1\underline{1}} \sinh \rho_{1\underline{1}} b - \theta_{n\underline{1}} \lambda_{2\underline{1}} \sinh \rho_{2\underline{1}} b \right] \qquad (46)$$

$$\phi_{n3\underline{1}} = \omega^2 \left[ \lambda_{1\underline{1}}^2 \cosh \rho_{1\underline{1}} b - \theta_{n\underline{1}} \lambda_{2\underline{1}}^2 \cosh \rho_{2\underline{1}} b \right]$$
 (47)

フランジの応力は,次のように書き表わされる。

$$\sigma_{y_{\frac{1}{2}}} = \sum_{\omega^2} A_{n_{\frac{1}{2}}} \left[ \lambda_{1_{\frac{1}{2}}}^2 \cosh \rho_{1_{\frac{1}{2}}} x - \theta_{n_{\frac{1}{2}}} \lambda_{\frac{2}{2}_{\frac{1}{2}}}^2 \cosh \rho_{2_{\frac{1}{2}}} x \right] \sin \omega y \qquad \cdots (48a)$$

$$\sigma_{x_{\frac{1}{2}}} = -\sum \omega^2 A_{n_{\frac{1}{2}}} \left[\cosh \rho_{11} x - \theta_{n_{\frac{1}{2}}} \cosh \rho_{21} x\right] \sin \omega y \qquad \cdots \cdots (48b)$$

$$\tau_{xy_{\frac{1}{2}}} = -\sum_{\omega^2} A_{n_{\frac{1}{2}}} \left[ \lambda_{11} \sinh \rho_{12} x - \theta_{n_{\frac{1}{2}}} \lambda_{21} \sinh \rho_{21} x \right] \cos \omega y \qquad \cdots (48c)$$

### 3. 有効幅に与える弾性パラメータの影響

有効幅は式(26),(35)で与えられるが、いまここではこれらの級数が十分速やかに収斂するものと仮定すれば、有効幅の値は初めの第1項のみをとって計算すればよいから、これらは次のように書き表わされる。

$$b_e = \frac{\phi_{n2}}{\phi_{n3}} \tag{49}$$

これを変形して、T型およびI型パネルに対しては

$$\frac{b_e}{2b} = \frac{1}{\omega b} - \frac{\lambda_1 \sinh \lambda_1 \omega b - \lambda_2 \sinh \lambda_2 \omega b + \delta_n \lambda_1 (\cosh \lambda_1 \omega b - \cosh \lambda_2 \omega b)}{\lambda_1^2 \cosh \lambda_1 \omega b - \lambda_2^2 \cosh \lambda_2 \omega b + \delta_n \lambda_1 (\lambda_1 \sinh \lambda_1 \omega b - \lambda_2 \sinh \lambda_2 \omega b)}$$

..... (50)

箱型パネルに対しては

$$\frac{b_e}{2b} = \frac{1}{\omega b} \frac{\lambda_1 \sinh \lambda_1 \omega b - \gamma_n \lambda_2 \sinh \lambda_2 \omega b}{\lambda_1^2 \cosh \lambda_1 \omega b - \gamma_n \lambda_2^2 \cosh \lambda_2 \omega b}$$
(51)

マルチリブパネルに対しては

$$\frac{b_e}{2b} = \frac{1}{\omega b} \frac{\lambda_1 \sinh \lambda_1 \omega b - \theta_n \lambda_2 \sinh \lambda_2 \omega b}{\lambda_1^2 \cosh \lambda_1 \omega b - \theta_n \lambda_2^2 \cosh \lambda_2 \omega b}$$
(52)

をうる。以上の式を見ると、有効幅は  $\omega b$ 、 $\lambda_1$ 、 $\lambda_2$ 、 $\mu_{yx}$  に影響されることがわかる。したがって、ここでは弾性パラメータを b/L、 $\mu_{yx}$ 、 $E_y/G_{xy}$ 、 $E_y/E_x$  として、これらが有効幅に与える影響について考えてみる。

まず, $E_y/G_{xy}=20.0$  として, $\mu_{yx}$  を 0 から 0.5 まで,また  $E_y/E_x$  を 0.5 から 3.0 まで変えてみたが, どの型のパネルに対しても有効幅比  $b_e/2b$  には 1 %以下の変化しか現われず,  $\mu_{yx}$ ,  $E_y/E_x$  は有効幅には影響を与えないといえる。次に  $\mu_{yx}=0.3$ ,  $E_y/E_x=2.0$  として, $E_y/G_{xy}$  と b/L を変えた場合の有効幅比を Fig. 5 に示す。図はマルチリブ型の場合であるが,他の型の場合もこれとほぼ間じ図になる。これから有効幅には b/L,  $E_y/G_{xy}$  が大きな影響を与えることがわかる。

Möhler らによれば $^{n}$ , スパンに直交する方向のフランジのヤング係数  $E_{x}$  は、有効幅には影響を与えないから、x 方向のリブ(横桟木)は有効幅には関与しないとしている。しかし、横桟木がフランジの剪断剛性  $(G_{xy})$ 

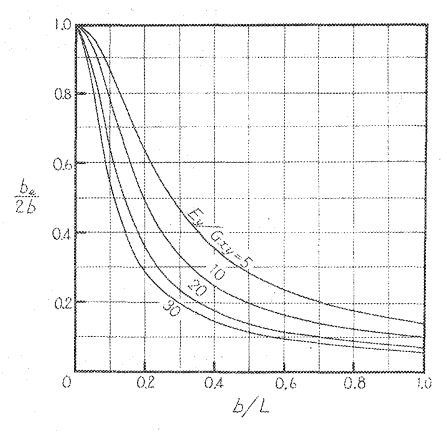


Fig. 5 有効幅比に与えるパラメータの影響 Effect of parameter on effective breadth ratio.

に影響を与えないとは断言できないので、この問題は実験的検討が必要と思われる。

## 4. 有効幅算出図

有効幅を求める式は級数の形であるため、計算手続きが非常に繁雑である。そこで、弾性パラメータをある程度想定しておいて、あらかじめ計算してグラフ化しておくと便利である。

この目的にしたがって、パラメータを  $E_y/G_{xy}$ 、b/L、 $D_f$  とし、3 種類の荷重条件について、それぞれ 有効幅比を求めた (Fig. 6~9)。

ここで、 $D_f$  は次のように定義される。

片面パネルの場合,

$$D_f = 2btE_y \left( \frac{1}{A_s E_s} + \frac{e^2}{D} \right)$$

$$= 4\kappa (3\kappa + 2) \frac{b}{b'} \cdot \frac{E_y}{E_s}$$

両面パネルの場合。

$$\begin{split} D_f &= 2bt E_y \Big( \frac{1}{A_s E_s} + \frac{2e^2}{D} \Big) \\ &= \frac{\epsilon}{\epsilon} 2\kappa (12\kappa + 7) - \frac{b}{b'} \cdot \frac{E_y}{E_s} \end{split}$$

パネルのタイプにより、有効幅比には若干の違いがあらわれるが、それもせいぜい数パーセント以下であるため、マルチリブ型をもって代表とした。4分点荷重の場合は、 $D_f$  の影響は看過できないので、この値の範囲を2つに分けて示した。中央集中荷重および等分布荷重の場合には、 $D_f$  はそれほど大きな影響を与えないので、この値のいかんにかかわらずそのまま図を適用することができる。ただし、両面パネルについては、上下フランジが対称の場合のものであるので、両フランジ間に大きな幾何学的、力学的性質の

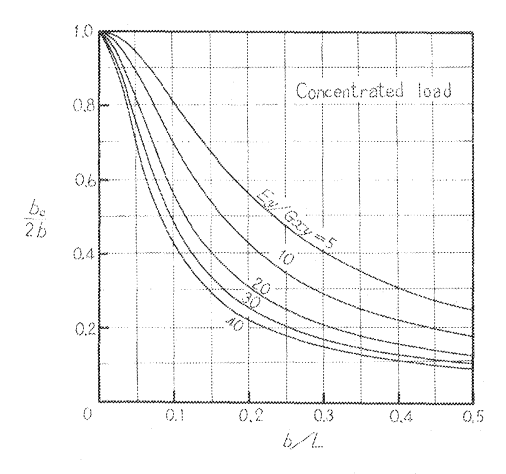


Fig. 6 有効幅比算出図(中央集中荷重) Effective breadth ratio  $b_e/2b$ in relation to b/L and  $E_y/G_{xy}$ .

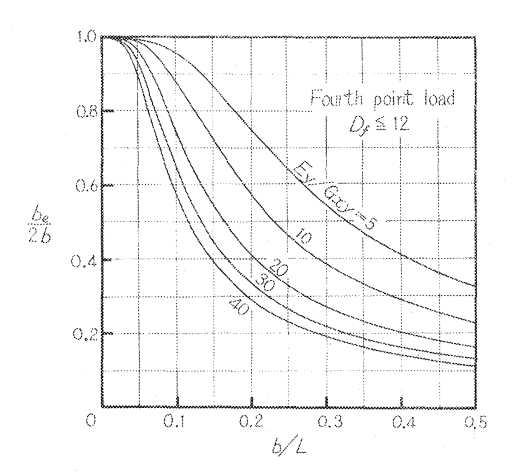


Fig. 8 有数幅比算出図(四分点二点荷重) Effective breadth ratio  $b_e/2b$  in relation to b/L and  $E_y/G_{xy}$ .

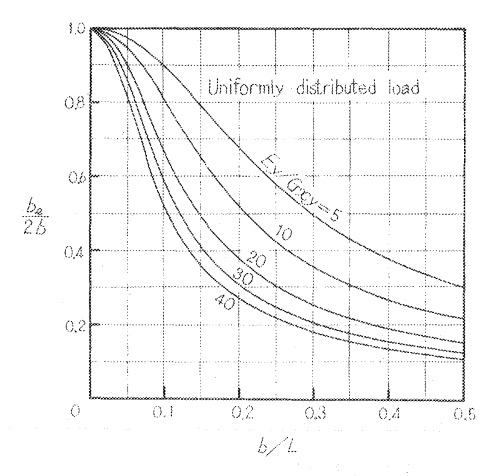


Fig. 7 有効幅比算出図(等分布荷重) Effective breadth ratio  $b_e/2b$  in relation to b/L and  $E_y/G_{xy}$ .

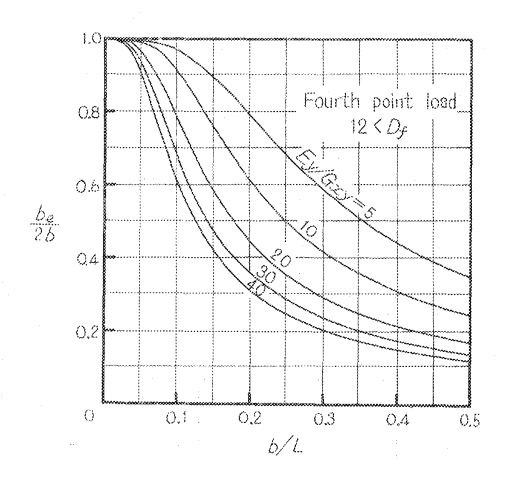


Fig. 9 有効幅比算出図(四分点二点荷重) Effective breadth ratio  $b_e/2b$  in relation to b/L and  $E_y/G_{xy}$ .

差がある場合には、これらの図はこのままでは適用することはできない。

#### 5. 実 験

#### 5-1. パネル構成材料の弾性定数の測定

本実験では、パネル表面材として3種類の厚さのラワン合板(6,9,12 mm)を使用した。 各厚さとも、4 尺×8 尺の合板 20 枚について、曲げヤング係数を測定し(スパン 200 cm、分銅により板の中央線上に負荷)、その値が近似するもの 4 種類を選び出した。つぎに、これらの合板をパネルの大きさ(50 cm×150 cm)に切断し、実大の合板の場合と同じ方法により曲げ試験を行ない(ただしスパンは140 cm)、表面材の曲げヤング係数  $E_b$  を求めた。

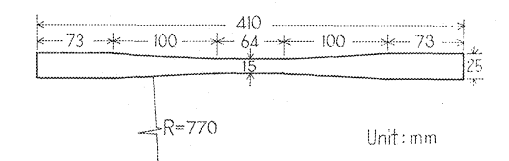


Fig. 10 引張試験片 Tensile test specimen.

つぎに、表面材を採取した残余から、Fig. 10 に示すような引張試験片を採取したが、これには表板繊維が長手方向に平行のものと、直角のものの2種類がある。表板繊維が長手方向に平行な試験片については、その中央部両面にワイヤストレンゲージ(クロスゲージ、ゲージ長  $10 \, \mathrm{mm}$ 、共和電業製)を貼り、4枚ゲージ法により縦歪みおよび横歪みを測定し、この測定値よりヤング係数 $E_1$ 、ポアソン比 $\mu_{12}$ を求めた。表板繊維が長手方向に直角な試験片では、歪みの測定は鏡式歪計を使用し、ヤング係数 $E_2$ を求めた。

表面材の剪断弾性係数  $G_{12}$  は、プレート剪断試験により求めた。

わく組み用桟木としては, スプルース材 (4.5 cm×7.0 cm×150 cm) を使用した。 この桟木に四分点

Table 1. パネル構成材料の弾性定数 Elastic constants of flange and rib materials (Young's modulus and modulus of rigidity in kg/cm²×10³)

Panel desig- nation			Flar	Rib					
	Thick- ness (cm)	Young's modulus			Modulus of rigidi-		Thickness		Young's modulus
		$E_b$	$E_1$	$E_2$	ty $G_{12}$	ratio $\mu_{12}$	(cm)	(cm)	$E_s$
I -1	0.595 0.585	117.5 123.1	89.9 93.6	52.0 52.6	5. 63 3. 48	0, 281 0, 199	6.93	4.42	128, 9
I -2	0.915 0.920	55. 9 56. 9	42.1 43.8	80.7 72.2	3, 85 3, 52	0.157 0.180	7.10	4,50	112.0
I -3	1,188 1,173	82. 7 84. 6	73, 5 66, 4	47.4 56.0	3, 79 3, 49	0. 252 0. 265	6,98	4.50	116.6
<b>II</b> -1	0.588 0.605	123.7 126.8	93. 1 56. 2	59.6 56.5	3. 47 5. 17	0. 231 0. 245	6.91	4,44	139.6
<b>II</b> -2	0.910 0.915	57.1 57.2	41.5 45.3	72.8 81.4	3.78 3.82	0.146 0.192	6.96	4.48	103.9
<b>II</b> –3	1.180 1.165	85. 4 85. 9	62, 9 65, 6	55, 4 59, 6	4.34 4.13	0, 276 0, 326	6, 92	4.45	117.5
<b>Ⅲ</b> -1	0, 595 0, 588	133, 0 136, 7	92.6 104.2	62.9 56.6	5, 55 4, 89	0.327 0.248	6.93	4.42	142.7
<b>Ⅲ</b> -2	0.913 0.915	59. 4 60. 0	40.8 43.3	77.9 75.9	3.75 4.03	0, 192 0, 167	6.96	4.45	106, 1
<b>III</b> -3	1.173 1.175	90, 6 96, 7	84.1 63.2	65.7 56.8	3.72 4.43	0.204 0.304	6.94	4.44	119.4
<b>IV</b> -1	0. 588 0. 593	140.6 157.5	94.7 69.1	45.9 48.6	4.54 5.13	0. 265 0. 258	6,96	4.44	134.5
IV-2	0.915 0.913	60. 2 60. 6	43.5 41.7	83. 1 74. 3	3, 85 3, 98	0.179 0.178	6.95	4.47	97.3
IV-3	1.160 1.178	98.5 100.7	89.9 50.4	58.5 52.9	3.72 4.40	0, 232 0, 300	6.91	4.44	125,6

二点荷重方式(スパンを 4 等分し,支点より 1/4 の点の 2 点に負荷)により負荷し,桟木のヤング係数  $E_s$  を求めた。

以上,パネル構成材料の各種の弾性定数の測定結果を一括して Table 1 に示した。

#### 5-2. パネルの製造とその種類

パネルの表面材の外形寸法は  $50 \text{ cm} \times 150 \text{ cm}$  とし、わく組みは横桟木は用いず縦桟木のみで構成した。縦桟木の数が 1 本のものから 4 本のものまで 4 種類(この縦桟木の数をローマ数字で示し、これをパネルの記号とした) および表面材の厚さの違いによる 3 種類(6 mm のものは 1、9 mm のものは 2、12 mm のものは 3 で表示)で、つごう12種類のパネルを作製した。その順序は、まず片面にのみ表面材を接着し(この片面パネルは記号 S で表示)、所要の実験を終了した後、残る片面にも表面材を接着した(この両面パネルは記号 D で表示)。これらを図示すれば Fig. 11 のようになる。

桟木と表面材の接着には、レゾルシノール接着剤を用い、その塗布量は  $250 \, \mathrm{g/m^2}$ 、圧締圧力は  $8 \, \mathrm{kg/cm^2}$  とした。

### 5-3. パネルの曲げ試験

パネルの曲げ試験は、当試験場に設置されている木材強度試験機(能力 20 ton)を用いて四分点二点荷重方式により負荷し、スパン中央の撓みおよび表面材の歪みを測定した。この曲げ試験においては各試験体ともそのスパンを 100cm、120cm、140cm に変えて行なった。 撓みの測定には最小目盛 1/100mm のダイヤルゲージを使用した。荷重棒が直接表面材に接触すると、表面材の応力が撹乱されるおそれがあるため、 桟木の位置にあたる表面材の上に木材のブロック(25 mm×25 mm×45 mm)を置いて、フラン

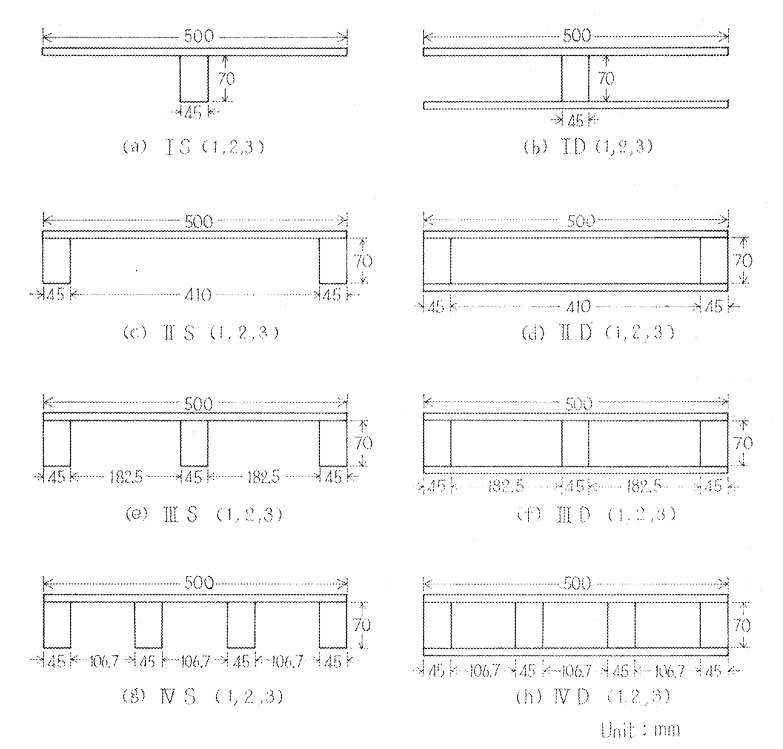


Fig. 11 パネルの種類とその記号 Test model of panel and its designation.

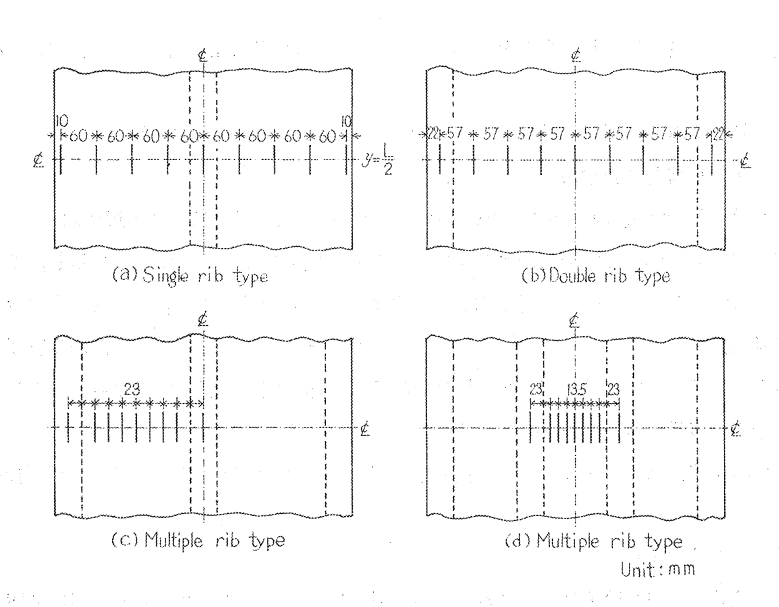


Fig. 12 ゲージ貼付位置 Strain gage location.

ジと荷重棒の接触を防いだ。

歪みの測定は Fig. 12 に示すように、パネルの長手方向中央線(y=L/2)に沿ってはったワイヤストレンゲージ(ゲージ長 67 mm)を、抵抗線動的歪み測定器(共和電業製、DPM-E 型)につなぎ、記録器(6ペン、渡辺測器製作所製、マルチコーダ MC 611 型)により描かせた。9枚のうちの中央のゲージを除いた他のゲージは、対称位置のものどうしで4枚ゲージ法により結線し、歪みは2点の和として検出した。

なおまた、この曲げ試験はパネル上下を裏返しても同様の試験を行ない、撓みおよび歪みの値は、これ ら両方の値の平均値をもってこれにあてた。

## 6. 結果と考察

パネルの曲げ試験および計算の結果を Table 2,3 に掲げた。

本報に誘導した理論式を用いて計算したパネルの撓みと、実測した撓みとを比べてみると、II D型を除いて他は概してよく一致しているといえる。すなわち、ここに誘導した撓みに関する理論式は、実際に適用可能であること、またその計算に際しては、どの式も収斂が速やかなため、初めの2項だけで十分なことがわかった。なおII D型の適合性が低い問題については目下検討中である。

次に、有効幅についての定義およびその計算結果を検討してみる。

携みおよび有効幅が同一の理論体系から導き出されたものであるならば、有効幅を用いて通常の曲げの 式から計算された携みは、同一体系内の理論携みに一致するはずである。ただ。この両者は、それを算出 するまでに各種のパラメータが介在しているため、いろいろな仮定および実験上の誤差等による変動が考 えられ得るし、また有効幅はモーメント図の形により変化するので、一般にはスパン方向には一定ではな く、これを厳密に考慮に入れて計算することは困難なため、ここでは近似的にスパン中央部の有効幅を全

Table 2. 撓みの実測値と理論値および有効幅比(片面貼パネル) Observed and theoretical values of deflection and effective breadth ratio at midspan (Single flange type)

Panel	Span (cm)	Deflection	(×10 <sup>-8</sup> cm)	Ratio	Effective ratio	e breadth	V.** Deflection (×10 <sup>-3</sup> cm)	Ratio V/II
designation		I. Obs.	II. Theor.	I / II	Ⅲ. Theor	. IV.* Chart.		
I S I	100	0, 540	0,557	0, 97	0.39	0, 38	0,523	0, 94
	120	0, 888	0,908	0, 98	0.44	0, 45	0,862	0, 95
	140	1, 419	1,374	1, 03	0.52	0, 52	1,299	0, 95
IS2	100 -	0, 531	0,573	0,93	0, 44	0, 45	0.547	0, 95
	120	0, 915	0,936	0,98	0, 53	0, 53	0.889	0, 95
	140	1, 415	1,418	1,00	0, 59	0, 61	1.359	0, 96
IS3	100	0. 480	0.460	1,04	0, 37	0, 33	0.425	0, 92
	120	0. 775	0.743	1,04	0, 45	0, 40	0.681	0, 92
	140	1. 205	1.115	1,08	0, 49	0, 46	1.045	0, 94
II S 1	100	0, 292	0, 333	0, 88	0, 27	0. 28	0, 327	0, 98
	120	0, 476	0, 554	0, 86	0, 33	0. 34	0, 543	0, 98
	140	0, 805	0, 850	0, 95	0, 38	0. 40	0, 831	0, 98
II S 2	100	0.350	0.392	0.89	0, 43	0.45	0.383	0. 98
	120	0.577	0.648	0.89	0, 51	0.53	0.631	0. 97
	140	1.010	0.991	1.02	0, 58	0.60	0.964	0. 97
II S 3	100	0, 298	0, 304	0, 98	0, 38	0, 40	0. 296	0. 97
	-120	0, 455	0, 496	0, 92	0, 46	0, 48	- 0. 480	0. 97
	-140	0, 746	0, 750	0, 99	0, 53	0, 55	- 0. 723	0. 96
III S 1	100	0, 187	0, 195	0. 96	0, 64	0, 69	0. 192	0.98
	120	0, 302	0, 325	0. 93	0, 72	0, 76	0. 321	0.99
	140	0, 479	0, 503	0. 95	0, 79	0, 83	0. 498	0.99
- III-S 2	. 100	0, 243	0, 248	0, 98	0.74	0,78	0, 245	0, 99
	120	0, 404	0, 416	0, 97	0.81	0,85	0, 412	0, 99
	140	0, 653	0, 647	1, 01	0.86	0,90	0, 643	0, 99
шsз	100	0, 193	0, 180	1.07	0,58	0, 60	0, 174	0.97
	120	0, 288	0, 296	0.97	0,67	0, 69	0, 286	0.97
	140	0, 449	0, 452	0.99	0,74	0, 77	0, 437	0.97
IV S 1	100	0. 155	0, 154	1,01	0.77	0, 81	0, 152	0, 99
	120	0. 249	0, 261	0,95	0.84	0, 87	0, 257	0, 98
	140	0. 391	0, 407	0,96	0.88	0, 92	0, 402	0, 99
IV S 2	100 120 140	0, 193 0, 334 0, 522	0, 199 0, 338 0, 530	0.97 0.99 0.98	0.87 0,92 0,94	0.91 0.94 0.97	0, 198 0, 337 0, 531	0.99 1.00
IV S 3	100	0.143	0.131	1.09	0,75	0,78	0.127	0.97
	120	0.235	0.218	1.08	0,82	0,85	0.213	0.98
	140	0.372	0.338	1.10	0,87	0,90	0.331	0.98

<sup>\*:</sup> Effective breadth ratio calculated from Fig. 8.

体に敷延して計算を行なっていることなどから、完全には一致しない可能性がある。このことを考慮に入れて両者の値を比較してみると(Table 2-II-V,Table 3-II-V),I D型を除きよく一致していることが認められる。 I D型の場合に、両者の値にひらきがあるのは問題のあるところであり、これは今後に残された検討課題のひとつである。

Amana ら8)によれば、有効幅は次のように定義されている。

<sup>\*\*:</sup> Calculated deflection from ordinary flexural formula using effective breadth as flange breadth

Table 3. 撓みの実測値と理論値および有効幅比(両面貼パネル) Observed and theoretical values of deflection and effective breadth ratio at midspan (Double flange type)

Panel desig- nation	Span (cm)	Deflection (×10 <sup>-3</sup> cm)		Ratio I / II	Effect	ive bread	V.** Deflection	Ratio V/II	
					III. Theor.				
		I. Obs.	II. Theor.	1 / 11	Top flange	Bottom flange	Bottom flange	(×10 <sup>-8</sup> cm)	V / M
I D1	100	0.372	0.422	0.88	0. 39	0. 27	0, 28	0,350	0.83
	120	0.553	0.671	0.82	0. 46	0. 38	0, 34	0,516	0.77
	140	0.870	0.995	0.87	0. 54	0. 45	0, 39	0,735	0.74
I D2	100	0, 378	0.411	0.92	0. 46	0, 46	0.43	0.323	0.79
	120	0, 572	0.655	0.87	0. 55	0, 52	0.51	0.508	0.78
	140	0, 813	0.974	0.83	0. 60	0, 57	0.58	0.753	0.77
I <b>D</b> 3	100	0. 281	0.310	0.91	0.39	0.39	0. 34	0, 209	0.67
	120	0. 417	0.491	0.85	0.47	0.47	0. 41	0, 308	0.63
	140	0. 621	0.725	0.86	0.51	0.51	0. 47	0, 462	0.64
П D 1	100	0. 215	0.276	0,78	0. 28	0, 43	0.45	0. 259	0.94
	120	0. 341	0.450	0,76	0. 33	0, 52	0.53	0. 417	0.93
	140	0. 543	0.679	0,80	0. 39	0, 59	0.61	0. 621	0.91
II D2	100	0. 240	0.301	0.80	0. 44	0.42	0.44	0. 272	0.90
	120	0. 397	0.486	0.82	0. 52	0.50	0.52	0. 430	0.88
	140	0. 624	0.729	0.86	0. 59	0.58	0.59	0. 632	0.87
II D3	100	0.179	0.220	0, 81	0, 39	0. 37	0.38	0.188	0,85
	120	0.276	0.350	0, 79	0, 47	0. 45	0.46	0.289	0,83
	140	0.408	0.519	0, 79	0, 54	0. 52	0.52	0.416	0,80
III D 1	100	0, 135	0.152	0.89	0.65	0.59	0.62	0.138	0.91
	120	0, 220	0.248	0.89	0.73	0.68	0.70	0.224	0.90
	140	0, 333	0.377	0.88	0.80	0.75	0.78	0.338	0.90
<b>Ⅲ D</b> 2	100	0. 183	0.186	0. 98	0, 75	0, 75	0.78	0.170	0.91
	120	0. 294	0.306	0. 96	0, 82	0, 82	0.85	0.279	0.91
	140	0. 439	0.469	0. 94	0, 87	0, 87	0.90	0.429	0.91
<b>Ⅲ D</b> 3	100	0. 125	0.127	0.98	0. 59	0,70	0.73	0. 105	0.83
	120	0. 194	0.205	0.95	0. 68	0,78	0.80	0. 167	0.81
	140	0. 277	0.309	0.90	0. 75	0,84	0.86	0. 250	0.81
IVD1	100	0. 107	0.125	0.86	0. 77	0.85	0, 89	0.117	0.94
	120	0. 181	0.208	0.87	0. 84	0.90	0, 93	0.195	0.94
	140	0. 276	0.322	0.86	0. 88	0.93	0, 96	0.304	0.94
WD2	100	0.148	0.150	0,99	0. 88	0. 89	0.92	0.140	0, 93
	120	0.245	0.250	9,98	0. 92	0. 93	0.95	0.237	0, 95
	140	0.379	0.387	0,98	0. 94	0. 95	0.97	0.371	0, 96
IVD3	100	0.0955	0.0967	0.99	0, 76	0, 88	0.91	0.0853	0.88
	120	0.150	0.159	0.94	0, 83	0, 92	0.94	0.141	0.89
	140	0.229	0.244	0.94	0, 88	0, 94	0.97	0.218	0.89

<sup>\*:</sup> Effective breadth ratio calculated from Fig. 8.

$$b_e = \frac{N}{t \cdot E_s(\varepsilon_y)_{x \sim b}}$$

これは本報において定義した式(23)とは応力の表現方法が異なっていて、上式における表現のしかたでは、リブ上の垂直応力を表わし得ない。すなわち、2-1節で定義した有効幅という概念にもとるのでは

<sup>\*\*:</sup> Calculated deflection from ordinary flexural formula using effective breadth as flange breadth.

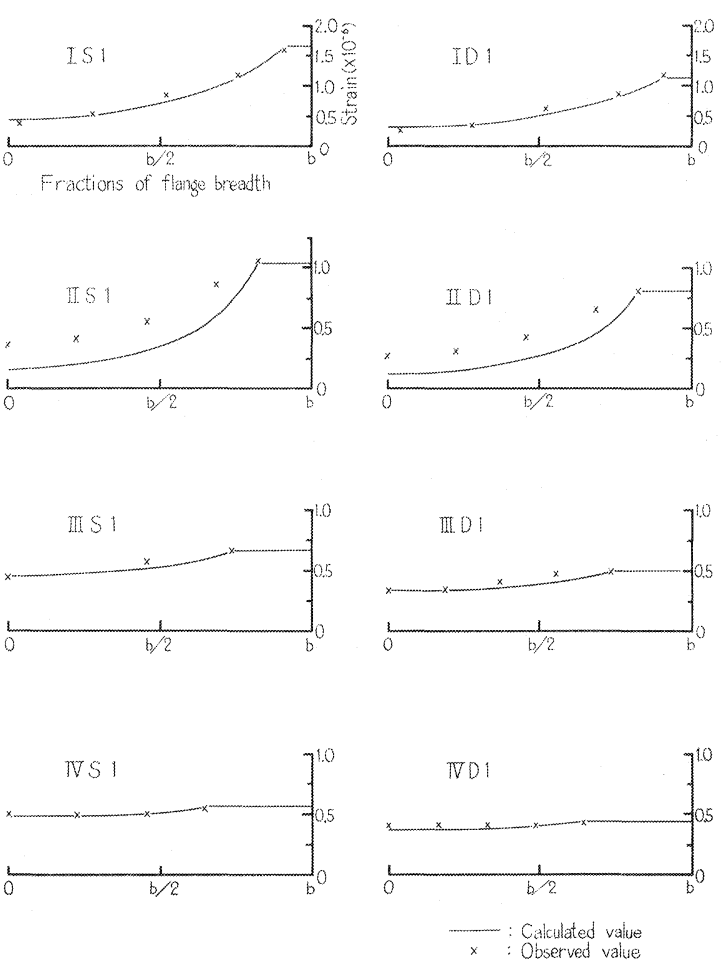


Fig. 13 スパン中央におけるフランジの歪み分布 Observed and calculated strain distribution in flange at midspan.

## なかろうか。

これを実際に計算して曲げの式を用いた撓みと理論撓みとを比べてみると、両者の比は 1.07~1.31 となり、かなり過大に出ることがわかった。また、応力分布図から有効幅の定義 (2-1 節参照) にもとづいて求めた有効幅の値は、式 (23) にもとづいて求めた値と全く一致している。以上のことから、有効幅の定義は式(23)のように与えるべきであろう。

なお, 有効幅を与える式は, 撓みの式と同じく収斂が速く, 初めの二項で十分である。

有効幅比算出図より求めた値を、Table 2、3 に示したが、これらはS型はもとより、D型においても計算式から求めた値に比較的よく一致している。したがって、数少ないパラメータ(b/L、 $E_y/G_{xy}$ 、 $D_f$ )を計算するだけで、有効幅を概算することができ、そしてその後は通常の曲げの問題と間様の手法でパネルを取り扱うことができる。

なお、有効幅比算出図は両面パネルの場合には、上下のフランジが対称なものの場合であるが、本報におけるパネルのように対称ではなくても、両者の性質の差がそれほど大きくない場合には適用可能である

ことがわかった。

有効幅に影響を与えるものとして,b/L, $E_y/G_{xy}$ , $D_f$  というパラメータがあることがわかったので, これから大きな有効幅をうるには,b/L を小さくし, $E_y/G_{xy}$  の値が小さい表面材を選べばよいことがわかる。 $D_f$  は四分点荷重の場合には,全く無視するわけにはいかないが,ただ,実際に用いられるパネルは,ほとんどの場合,その値は 12 以下であると思われるので,現実の問題を考えると,これは有効幅には影響を与えないと見てよいであろう。

フランジの垂直歪み  $(\epsilon_v)$  の実測値と計算値を比較したものの一部を Fig. 13 に示した。 箱型のもの ( $\mathbb{I}$  S1,  $\mathbb{I}$  D1) を除けば、比較的よく一致しているといえるであろう。 両者の値にひらきのあるものでは、リブ上では一致しているが、リブを離れるにしたがって、そのひらきが大きくなる傾向を示した。一般に、リブから遠く離れたところの歪みは、リブ上のものに比べてかなり小さいため、計算値と実測値の不一致も、実際にパネルの曲げ性能を取り扱う上では、それほど大きな支障は生じないであろう。

 $\sigma_x$ ,  $\tau_{xy}$  を与える式は収斂が悪く、実用にはならないことがわかった。

#### 7. 結論

ここに誘導されたパネルの撓みに関する級数解は、実験値とよく一致し、実際に適用可能である。その 計算に際しては、収斂が速いので、初めの二項で十分である。

有効幅については、実験および計算結果と比べたところ、その定義に矛盾のないことがわかり、これも また実用に供することができる。

有効幅に大きな影響を与えるパラメータは、b/L、 $E_y/G_{xy}$ であることがわかった。

有効幅を複雑な計算なしに求める上で、有効幅比算出図 (Fig. 6~9) を適用することができる。 フランジの垂直歪みにおける実測値と理論値は、概して一致することが認められた。

#### 文献

- 1) 杉山英男:建築構造学大系 22 木構造, 彰国社, 272~283, (1971)
- Newlin, J. A.: The Designing for Strength of Flat Panels with Stressed Coverings. F. P. L. Report No. R 1220, (1940)
- 3) Dietz, A. G.: Engineering Laminates. John Wiley & Sons, Inc., 228~236, (1949)
- 4) WARDLE, T. M. and J. D. PEEK: Plywood Stressed Skin Panels: Geometric Properties and Selected Designs. TRADA, (1970)
- 5) MÜLLER, H.: Mitwirkende Breite des Plattenbalkens. Definitionsgleichungen und Abhängigkeit von der Randquerträgerausbildung. Wiss. Zeitschr. der TH Dresden, H. 1, (1961)
- 6) Timoshenko, S. and J. N. Goodier: Theory of Elasticity. McGraw-Hill Book Co. Inc., 171~177, (1951)
- 7) Möhler, K., G. Abdel-Sayed und J. Ehlbeck: Zur Berechnung doppelschaliger, geleimter Tafelelemente. Holz als Roh- u. Werkst., H. 8, (1963)
- 8) Amana, E. J. and L. G. Booth: Theoretical and Experimental Studies on Nailed and Glued Plywood Stressed-Skin Components: PART 1. Theoretical Study. J. Inst. Wood Science, 4, 1, 43~69, (1967)
- 9) Amana, E. J. and L. G. Booth: Theoretical and Experimental Studies on Nailed and Glued

Plywood Stressed-Skin Components: PART 2. Experimental Study. J. Inst. Wood Science, 4, 2, 19~34, (1968)

- 10) Timoshenko, S. and S. Woinowsky-Krieger: Theory of Plates and Shells. McGraw-Hill Book Co. Inc., (1959)
- 11) Mühler, K.: Sperrholz beim Aufbau von geleimten Trägern und tragenden Tafelelementen. Holz als Roh- u. Werkst., H. 6, (1963)

# Study on Bending of Wooden Stressedskin Panels

Yoshihiko Hirashima(1)

#### Summary

In this paper, the theoretical analysis for the bending of stressed-skin panels using orthotropic skin materials are made, and tests on various types of stressed-skin panels are reported.

Comparing the theoretical values of strains, deflections and effective breadth computed from equations derived in this paper with those observed on the test models, it may be concluded that the observed values agree well with theoretical results.

The effects of elastic parameters on the effective breadth are also investigated.

To obtain the effective breadth without complex procedures of computations, some charts of the effective breadth ratio in relation to b/L and  $E_y/G_{xy}$  are drawn.